

---

# Travaux dirigés de physique statistique - Corrigé

---

## 1 Transition liquide isotrope - liquide nématique des cristaux liquides

1. Dans la phase isotrope aucune direction n'est privilégiée : statistiquement toutes les orientations du vecteur  $\vec{n}_i$  sont rencontrées dans les mêmes proportions. Ainsi, en effectuant une moyenne sur l'ensemble des molécules, on obtient

$$\langle \vec{n}_i \rangle = 0.$$

Dans la phase nématique l'ensemble des molécules tendent à s'orienter dans une même direction, disons par exemple dans la direction verticale. Cependant les deux sens (vers le haut et vers le bas) sont équivalents, i.e. il y a autant de molécules pointant vers le haut que vers le bas. Une moyenne d'ensemble donne alors :

$$\langle \vec{n}_i \rangle = 0.$$

Or un bon paramètre d'ordre est nul dans la phase désordonnée et non nul dans la phase ordonnée,  $\langle \vec{n}_i \rangle$  n'est donc pas un paramètre d'ordre convenable pour la transition liquide isotrope - liquide nématique.

2. On pose  $\vec{n}_i = \{n_{i\alpha}\}$ ,  $\alpha = x, y, z$ , et on définit le tenseur

$$\sigma_{\alpha\beta}^i = \frac{3}{2}n_{i\alpha}n_{i\beta} - \frac{1}{2}\delta_{\alpha\beta}.$$

Rappelons que par définition le vecteur  $\vec{n}_i$  est de norme 1, ce qui se traduit par :

$$\forall i \in \{1, \dots, N\}, \quad \sum_{\alpha=x,y,z} n_{i\alpha}^2 = 1$$

et par l'écriture, en coordonnées sphériques par rapport à l'axe  $Oz$  :

$$\vec{n}_i = \begin{pmatrix} \sin(\vartheta_i) \cos(\varphi_i) \\ \sin(\vartheta_i) \sin(\varphi_i) \\ \cos(\vartheta_i) \end{pmatrix}$$

— Dans la phase isotrope toutes les directions sont équivalentes, ce que nous traduisons par

$$\langle n_{ix}^2 \rangle = \langle n_{iy}^2 \rangle = \langle n_{iz}^2 \rangle,$$

or

$$\left\langle \sum_{\alpha=x,y,z} n_{i\alpha}^2 \right\rangle = \sum_{\alpha=x,y,z} \langle n_{i\alpha}^2 \rangle \underset{\text{(vecteur unitaire)}}{=} 1$$

donc

$$\forall \alpha \in \{x, y, z\}, \quad \langle n_{i\alpha}^2 \rangle = \frac{1}{3}$$

Puis

$$\forall \alpha \in \{x, y, z\}, \quad \langle \sigma_{\alpha\alpha}^i \rangle = \frac{3}{2} \langle n_{i\alpha}^2 \rangle - \frac{1}{2} \delta_{\alpha\alpha} = 0.$$

De plus pour

$$\alpha \neq \beta, \quad \langle n_{i\alpha} n_{i\beta} \rangle = \langle n_{i\alpha} \rangle \langle n_{i\beta} \rangle = 0.$$

- Dans la phase nématique, en prenant l'axe  $Oz$  comme référence, le fait que les molécules tendent à s'orienter dans la même direction signifie que les moyennes d'ensemble :

$$\langle \cos(\vartheta_i) \rangle \quad \text{et} \quad \langle \cos^2(\vartheta_i) \rangle$$

sont *fixées*. Ce sont les données macroscopiques décrivant l'état du système.

Si on note  $\rho(\vartheta)$  la densité de probabilité qu'une molécule soit orientée selon l'angle  $\vartheta$  par rapport à l'axe  $Oz$  alors

- dans la phase isotrope  $\rho = 1, \forall \vartheta$ ,
- dans la phase nématique  $\rho$  n'est plus isotrope et par définition on a par exemple

$$\langle \cos(\vartheta_i)^2 \rangle = \int_0^\pi \cos(\vartheta_i)^2 \rho(\vartheta) d\vartheta$$

Calculons les moyennes  $\langle n_{i\alpha} n_{i\beta} \rangle$  en utilisant l'écriture en coordonnées sphériques, et en se rappelant que l'élément d'intégration angulaire en coordonnées sphériques avec une distribution  $\rho(\vartheta)$  est  $d\Omega = \rho(\vartheta) d\vartheta \frac{d\varphi}{2\pi}$ .

$$\begin{aligned} \langle n_{ix} n_{ix} \rangle &= \frac{1}{4\pi} \int_0^\pi \int_0^{2\pi} \sin^2(\vartheta) \cos^2(\varphi) \rho(\vartheta) d\vartheta d\varphi = \langle \sin^2(\vartheta) \rangle \times \frac{1}{2\pi} \int_0^{2\pi} \cos^2(\varphi) d\varphi = \frac{1}{2} \langle \sin^2(\vartheta) \rangle \\ \langle n_{iy} n_{iy} \rangle &= \frac{1}{4\pi} \int_0^\pi \int_0^{2\pi} \sin^2(\vartheta) \sin^2(\varphi) \rho(\vartheta) d\vartheta d\varphi = \langle \sin^2(\vartheta) \rangle \times \frac{1}{2\pi} \int_0^{2\pi} \sin^2(\varphi) d\varphi = \frac{1}{2} \langle \sin^2(\vartheta) \rangle \\ \langle n_{iz} n_{iz} \rangle &= \frac{1}{4\pi} \int_0^\pi \int_0^{2\pi} \cos^2(\vartheta) \rho(\vartheta) d\vartheta d\varphi = \langle \cos^2(\vartheta) \rangle \times \frac{1}{2\pi} \int_0^{2\pi} d\varphi = \langle \cos^2(\vartheta) \rangle \\ \langle n_{ix} n_{iy} \rangle &= \frac{1}{4\pi} \int_0^\pi \int_0^{2\pi} \sin^2(\vartheta) \sin(\varphi) \cos(\varphi) \rho(\vartheta) d\vartheta d\varphi = \langle \sin^2(\vartheta) \rangle \times \frac{1}{2\pi} \int_0^{2\pi} \sin(\varphi) \cos(\varphi) d\varphi = 0 \\ \langle n_{ix} n_{iz} \rangle &= \frac{1}{4\pi} \int_0^\pi \int_0^{2\pi} \sin(\vartheta) \cos(\vartheta) \cos(\varphi) \rho(\vartheta) d\vartheta d\varphi = \langle \sin(\vartheta) \cos(\vartheta) \rangle \times \frac{1}{2\pi} \int_0^{2\pi} \cos(\varphi) d\varphi = 0 \\ \langle n_{iy} n_{iz} \rangle &= \frac{1}{4\pi} \int_0^\pi \int_0^{2\pi} \sin(\vartheta) \cos(\vartheta) \sin(\varphi) \rho(\vartheta) d\vartheta d\varphi = \langle \sin(\vartheta) \cos(\vartheta) \rangle \times \frac{1}{2\pi} \int_0^{2\pi} \sin(\varphi) d\varphi = 0 \end{aligned}$$

Or  $\langle \sigma_{\alpha\beta}^i \rangle = \frac{3}{2} \langle n_{i\alpha} n_{i\beta} \rangle - \frac{1}{2} \delta_{\alpha\beta}$ , donc si  $\alpha \neq \beta$ ,  $\langle \sigma_{\alpha\beta}^i \rangle = 0$  : le tenseur  $\bar{\sigma}$  est diagonal.

Posons

$$A = \frac{3}{2} \langle \cos^2(\vartheta) \rangle - \frac{1}{2} = \langle \sigma_{zz}^i \rangle,$$

alors

$$\langle \sigma_{xx}^i \rangle = \langle \sigma_{yy}^i \rangle = \frac{3}{2} \times \frac{1}{2} \langle \sin^2(\vartheta) \rangle - \frac{1}{2} = \frac{3}{4} (1 - \cos^2(\vartheta)) - \frac{1}{2} = -\frac{3}{4} \cos^2(\vartheta) + \frac{1}{4} = -\frac{A}{2}.$$

**Bilan** :  $\bar{\sigma} = \begin{pmatrix} -\frac{A}{2} & 0 & 0 \\ 0 & -\frac{A}{2} & 0 \\ 0 & 0 & A \end{pmatrix}.$

3. Réécrivons le hamiltonien d'interaction :

$$\begin{aligned}
 \mathcal{H}_{\text{int}} &= -\epsilon \sum_{\langle i,j \rangle} (\vec{n}_i \cdot \vec{n}_j)^2 = -\epsilon \sum_{\langle i,j \rangle} \left( \sum_{\gamma} n_{i\gamma} n_{j\gamma} \right)^2 = -\epsilon \sum_{\langle i,j \rangle} \sum_{\alpha} \sum_{\beta} n_{i\alpha} n_{j\alpha} n_{i\beta} n_{j\beta} = -\epsilon \sum_{\langle i,j \rangle} \sum_{\alpha\beta} (n_{i\alpha} n_{i\beta}) (n_{j\alpha} n_{j\beta}) \\
 &= -\epsilon \sum_{\langle i,j \rangle} \sum_{\alpha\beta} \left( \frac{2}{3} \sigma_{\alpha\beta}^i + \frac{1}{3} \delta_{\alpha\beta} \right) \left( \frac{2}{3} \sigma_{\alpha\beta}^j + \frac{1}{3} \delta_{\alpha\beta} \right) \\
 &= -\epsilon \left( \frac{2}{3} \right)^2 \sum_{\langle i,j \rangle} \sum_{\alpha\beta} \sigma_{\alpha\beta}^i \sigma_{\alpha\beta}^j - 2\epsilon \sum_{\langle i,j \rangle} \sum_{\alpha\beta} \frac{2}{3} \sigma_{\alpha\beta}^i \times \frac{1}{3} \delta_{\alpha\beta} - \epsilon \left( \frac{1}{3} \right)^2 \sum_{\langle i,j \rangle} \sum_{\alpha\beta} \delta_{\alpha\beta} \delta_{\alpha\beta} \\
 &= -\epsilon \left( \frac{2}{3} \right)^2 \sum_{\langle i,j \rangle} \sum_{\alpha\beta} \sigma_{\alpha\beta}^i \sigma_{\alpha\beta}^j - 2\epsilon z \frac{2}{9} \sum_i \sum_{\alpha} \sigma_{\alpha\alpha}^i - \epsilon \left( \frac{1}{3} \right)^2 N z \frac{z}{2} \times 3 \\
 \text{or } \text{Tr}(\sigma^i) &= \sum_{\alpha} \sigma_{\alpha\alpha}^i = \sum_{\alpha} \left( \frac{3}{2} n_{i\alpha} n_{i\alpha} - \frac{1}{2} \right) = \frac{3}{2} - \frac{3}{2} = 0 \\
 \mathcal{H}_{\text{int}} &= -\epsilon \left( \frac{2}{3} \right)^2 \sum_{\langle i,j \rangle} \sum_{\alpha\beta} \sigma_{\alpha\beta}^i \sigma_{\alpha\beta}^j - \epsilon \frac{Nz}{6} = -J \sum_{\langle i,j \rangle} \sum_{\alpha\beta} \sigma_{\alpha\beta}^i \sigma_{\alpha\beta}^j + \mathcal{H}_c
 \end{aligned}$$

avec  $J = \epsilon \left( \frac{2}{3} \right)^2$  et  $\mathcal{H}_c = -\epsilon \frac{Nz}{6}$ . Exprimons le premier terme de ce hamiltonien sous la forme d'une trace et remarquons pour cela que la tenseur  $\sigma_{\alpha\beta}^i$  est symétrique. En effet le delta de Kronecker étant symétrique on a simplement :

$$\sigma_{\beta\alpha}^i = \frac{3}{2} n_{i\beta} n_{i\alpha} - \frac{1}{2} \delta_{\beta\alpha} = \frac{3}{2} n_{i\alpha} n_{i\beta} - \frac{1}{2} \delta_{\alpha\beta} = \sigma_{\alpha\beta}^i.$$

ce qui se traduit par :

$$\sum_{\alpha\beta} \sigma_{\alpha\beta}^i \sigma_{\alpha\beta}^j = \sum_{\alpha\beta} \sigma_{\alpha\beta}^i \sigma_{\beta\alpha}^j = \sum_{\alpha} (\sigma^i \sigma^j)_{\alpha\alpha} = \text{Tr}(\sigma^i \sigma^j).$$

4. Rappelons que  $\bar{\sigma} = \begin{pmatrix} -\frac{A}{2} & 0 & 0 \\ 0 & -\frac{A}{2} & 0 \\ 0 & 0 & A \end{pmatrix}$ , donc  $\bar{\sigma}^2 = \begin{pmatrix} \frac{A^2}{4} & 0 & 0 \\ 0 & \frac{A^2}{4} & 0 \\ 0 & 0 & A^2 \end{pmatrix}$ , puis  $\text{Tr}(\bar{\sigma}) = 0$  et  $\text{Tr}(\bar{\sigma}^2) = \frac{3}{2} A^2$ .

Calculons désormais :

$$\text{Tr}(\bar{\sigma} \sigma^i) = \sum_{\alpha} \sum_{\beta} \bar{\sigma}_{\alpha\beta} \sigma_{\beta\alpha}^i \underset{(\bar{\sigma} \text{ diagonal})}{=} \sum_{\alpha} \bar{\sigma}_{\alpha\alpha} \sigma_{\alpha\alpha}^i$$

En utilisant les coordonnées sphériques :

$$\begin{aligned}
 \text{Tr}(\bar{\sigma} \sigma^i) &= -\frac{A}{2} \left( \frac{3}{2} \sin^2(\vartheta_i) \cos^2(\varphi_i) - \frac{1}{2} \right) - \frac{A}{2} \left( \frac{3}{2} \sin^2(\vartheta_i) \sin^2(\varphi_i) - \frac{1}{2} \right) + A \left( \frac{3}{2} \cos^2(\vartheta_i) - \frac{1}{2} \right) \\
 &= \frac{3A}{4} (3 \cos^2(\vartheta_i) - 1)
 \end{aligned}$$

On en déduit

$$\text{Tr}(\bar{\sigma} (\sigma^i - \bar{\sigma})) = \frac{3A}{4} (3 \cos^2(\vartheta_i) - 1) - \frac{3A^2}{2} = \frac{3A}{2} \left( \frac{3}{2} \cos^2(\vartheta_i) - \frac{1}{2} - A \right) \underset{(\text{déf. de } A)}{=} \frac{3A}{2} \left( \frac{3}{2} \cos^2(\vartheta_i) - \frac{3}{2} \langle \cos^2(\vartheta) \rangle \right).$$

L'approximation de champ moyen consiste à ne garder que les termes d'ordre 1 dans le développement suivant :

$$\begin{aligned}
 \text{Tr}(\sigma^i \sigma^j) &= \text{Tr}((\bar{\sigma} + \sigma^i - \bar{\sigma})(\bar{\sigma} + \sigma^j - \bar{\sigma})) \\
 &= \text{Tr}((\bar{\sigma} + \delta\sigma^i)(\bar{\sigma} + \delta\sigma^j)) \\
 (\text{1er ordre}) &\simeq \text{Tr}(\bar{\sigma}^2) + \text{Tr}(\bar{\sigma} \delta\sigma_i) + \text{Tr}(\bar{\sigma} \delta\sigma_j) \\
 &\simeq \text{Tr}(\bar{\sigma}^2) + \text{Tr}(\bar{\sigma}(\sigma_i - \bar{\sigma})) + \text{Tr}(\bar{\sigma}(\sigma_j - \bar{\sigma}))
 \end{aligned}$$

Donc le hamiltonien de champ moyen vaut

$$\begin{aligned}
 \mathcal{H}_{\text{cm}} &= -J \sum_{\langle i,j \rangle} (\text{Tr}(\bar{\sigma}^2) + \text{Tr}(\bar{\sigma}(\sigma_i - \bar{\sigma})) + \text{Tr}(\bar{\sigma}(\sigma_j - \bar{\sigma}))) + \mathcal{H}_c \\
 &= -J \frac{Nz}{2} \times \frac{3A^2}{2} - J \times 2 \times \frac{z}{2} \sum_{i=1}^N \left( \frac{3A}{2} \left( \frac{3}{2} \cos^2(\vartheta_i) - \frac{1}{2} \right) - \frac{3}{2} A^2 \right) + \mathcal{H}_c \\
 &= -J \frac{3Nz}{4} A^2 - J \frac{3z}{2} A \sum_{i=1}^N \left( \frac{3}{2} \cos^2(\vartheta_i) - \frac{1}{2} \right) + J \frac{3zN}{2} A^2 + \mathcal{H}_c \\
 &= J \frac{3Nz}{4} A^2 - J \frac{3z}{2} A \sum_{i=1}^N \left( \frac{3}{2} \cos^2(\vartheta_i) - \frac{1}{2} \right) + \mathcal{H}_c.
 \end{aligned}$$

5. Dans la phase isotrope on suppose qu'il n'y a pas d'interactions donc

$$\mathcal{H} = \sum_{i=1}^N \mathcal{K}_{\text{rot}}^i = \sum_{i=1}^N \frac{(p_i^\vartheta)^2}{2I} + \frac{(p_i^\varphi)^2}{2I \sin^2 \vartheta},$$

puis on calcule la fonction de partition

$$\begin{aligned}
 \mathcal{Z} &= \int \prod_{i=1}^N dp_i^\vartheta dp_i^\varphi \prod_{i=1}^N d\vartheta_i e^{-\beta \mathcal{H}(\{p_i^\vartheta, p_i^\varphi, \vartheta_i\})} \\
 &= z^N, \quad \text{avec} \quad z = \int dp_\vartheta dp_\varphi d\vartheta e^{-\beta \left( \frac{(p_\vartheta)^2}{2I} + \frac{(p_\varphi)^2}{2I \sin^2 \vartheta} \right)}.
 \end{aligned}$$

Calculons  $z$  en commençant par l'intégrale sur  $p_\vartheta$

$$z = \sqrt{\frac{2\pi I}{\beta}} \int dp_\varphi d\vartheta e^{-\beta \frac{(p_\varphi)^2}{2I \sin^2 \vartheta}}$$

puis l'intégrale sur  $p_\varphi$

$$z = \sqrt{\frac{2\pi I}{\beta}} \int_0^\pi d\vartheta \sqrt{\frac{2\pi I \sin^2 \vartheta}{\beta}}$$

enfin on remarque que la fonction  $\sin$  est positive sur  $[0, \pi]$  et on obtient :

$$\begin{aligned}
 z &= \frac{2\pi I}{\beta} \int_0^\pi \sin(\vartheta) d\vartheta \\
 &= \frac{4\pi I}{\beta}.
 \end{aligned}$$

Enfin

$$F = -k_B T \ln(\mathcal{Z}) = -N k_B T \ln(z) = -N k_B T \ln \left( \frac{4\pi I}{\beta} \right).$$

6. Dans la phase nématique on utilise l'expression du hamiltonien d'interaction en champ moyen  $\mathcal{H}_{\text{cm}}$  et on obtient

$$\mathcal{Z} = \int \prod_{i=1}^N dp_i^\vartheta dp_i^\varphi \prod_{i=1}^N d\vartheta_i e^{-\beta (\mathcal{K}(\{p_i^\vartheta, p_i^\varphi, \vartheta_i\}) + \mathcal{H}_{\text{int}}(\{\vartheta_i\}))} \quad \text{où} \quad \mathcal{K} = \sum_{i=1}^N \mathcal{K}_{\text{rot}}^i$$

7. Pour calculer

$$A = \frac{3}{2} \langle \cos^2(\vartheta_i) \rangle - \frac{1}{2} = \left\langle \frac{3}{2} \cos^2(\vartheta_i) - \frac{1}{2} \right\rangle = \langle P_2(\cos(\vartheta_i)) \rangle \quad (1)$$

nous allons effectuer une moyenne en *champ moyen*.

Commençons par rappeler le principe général. Supposons disposer d'un hamiltonien de *champ moyen*

$$\mathcal{H}_{\text{cm}}(\{x_j\}) = \sum_{j=1}^N \mathcal{H}_j(x_j) + \text{Cste}$$

associé à une fonction de partition prenant en compte l'énergie cinétique exacte  $\mathcal{K}$  et des interactions de champ moyen

$$\mathcal{Z}_{\text{cm}} = \int \prod_{j=1}^N dx_j \prod_{j=1}^N dp_j e^{-\beta(\mathcal{K}(\{p_j, x_j\}) + \mathcal{H}_{\text{cm}}(\{x_j\}))}$$

pour calculer la valeur moyenne d'une fonction  $\Phi(\{x_i\})$  dépendant des variables de position on utilise l'expression

$$\langle \Phi(\{x_j\}) \rangle = \frac{1}{\mathcal{Z}_{\text{cm}}} \int \prod_{j=1}^N dx_j \prod_{j=1}^N dp_j \Phi(x_j) e^{-\beta(\mathcal{K}(\{p_j, x_j\}) + \mathcal{H}_{\text{cm}}(\{x_j\}))}, \quad (2)$$

où les variables de moment sont les  $p_j^\vartheta$ ,  $p_j^\varphi$  et les variables de position sont les  $\vartheta_j$ .

On commence par effectuer l'intégration sur les variables de moment  $p_j^\vartheta$ ,  $p_j^\varphi$  ce qui donne :

$$\mathcal{Z}_{\text{cm}} = \int \prod_{j=1}^N d\vartheta_j \prod_{j=1}^N dp_j^\vartheta dp_j^\varphi e^{-\beta\left(\frac{(p_j^\vartheta)^2}{2I} + \frac{(p_j^\varphi)^2}{2I \sin^2 \vartheta}\right)} e^{-\beta \mathcal{H}_{\text{cm}}(\{\vartheta_j\})} \quad (3)$$

$$= \left(\frac{2\pi I}{\beta}\right)^N \int \prod_{j=1}^N d\vartheta_j \prod_{j=1}^N \sin(\vartheta_j) e^{-\beta \mathcal{H}_{\text{cm}}(\{\vartheta_j\})} \quad (4)$$

$$(5)$$

pour le dénominateur et

$$\langle \Phi(\{\vartheta_j\}) \rangle = \int \prod_{j=1}^N d\vartheta_j \prod_{j=1}^N dp_j^\vartheta dp_j^\varphi \Phi(\{\vartheta_j\}) e^{-\beta\left(\frac{(p_j^\vartheta)^2}{2I} + \frac{(p_j^\varphi)^2}{2I \sin^2 \vartheta}\right)} e^{-\beta \mathcal{H}_{\text{cm}}(\{\vartheta_j\})} \quad (6)$$

$$= \left(\frac{2\pi I}{\beta}\right)^N \int \prod_{j=1}^N d\vartheta_j \prod_{j=1}^N \sin(\vartheta_j) \Phi(\{\vartheta_j\}) e^{-\beta \mathcal{H}_{\text{cm}}(\{\vartheta_j\})} \quad (7)$$

$$(8)$$

pour le numérateur.

Considérons maintenant le cas particulier où  $\Phi(\{\vartheta_j\}) := \Phi(\vartheta_i)$  ne dépend que d'une seule variable de

position  $\vartheta_i$ . Comme  $e^{-\beta \mathcal{H}_{\text{cm}}(\{x_j\})} = \left(\prod_{j=1}^N e^{-\beta \mathcal{H}_j(x_j)}\right) e^{-\beta \cdot \text{Cste}}$  on effectue les intégrales (3) et (6) sur

toutes les variables  $j \neq i$  (donc au numérateur et au dénominateur de (2)). Ces intégrales ainsi que le facteur  $e^{-\beta \cdot \text{Cste}}$  apparaissant au numérateur et au dénominateur se simplifient et seuls restent les termes dépendant de  $i$  :

$$\langle \Phi(\vartheta_i) \rangle = \frac{\int d\vartheta_i \sin(\vartheta_i) \Phi(\vartheta_i) e^{-\beta \mathcal{H}_i(\vartheta_i)}}{\int d\vartheta_i \sin(\vartheta_i) e^{-\beta \mathcal{H}_i(\vartheta_i)}}.$$

Dans notre problème :  $\Phi(\vartheta_i) = P_2(\cos(\vartheta_i))$ ,  $\mathcal{H}_i = -\frac{3zJA}{2} P_2(\cos(\vartheta_i))$ , donc en posant  $B = \frac{3zJA}{2k_B T}$

$$A = \langle P_2(\cos(\vartheta_i)) \rangle = \frac{\int \sin(\vartheta_i) d\vartheta_i P_2(\cos(\vartheta_i)) e^{BP_2(\cos(\vartheta_i))}}{\int \sin(\vartheta_i) d\vartheta_i e^{BP_2(\cos(\vartheta_i))}}.$$

Le changement de variable  $u = \cos(\vartheta_i)$  permet de retrouver la formule proposée dans l'énoncé, en remarquant que  $du = -\sin(\vartheta_i) d\vartheta_i$ .

L'équation (8) de l'énoncé correspond à ce qu'on appelle une équation d'auto-cohérence, c'est à dire que l'on cherche  $A$  tel que

$$A = f_T(A) \tag{9}$$

où la fonction  $f_T$  de la variable  $A$  dépend également du paramètre de température  $T$  et s'écrit

$$f_T : A \mapsto \frac{\int_{-1}^1 du P_2(\cos(u)) e^{\frac{3zJA}{2k_B T} P_2(\cos(u))}}{\int_{-1}^1 du e^{\frac{3zJA}{2k_B T} P_2(\cos(u))}}. \tag{10}$$

8. Montrons tout d'abord que  $A = 0$  est toujours solution de l'équation

$$A = \frac{\int_{-1}^1 du P_2(u) e^{BP_2(u)}}{\int_{-1}^1 du e^{BP_2(u)}}, \tag{11}$$

quelle que soit la température  $T$ .

En effet, lorsque  $A = 0$ , on a également  $B = \frac{3zJA}{2k_B T} = 0$  (indépendamment de la valeur de la température  $T$ ) donc  $e^{BP_2(u)} = 1, \forall u \in [-1, 1]$  et le second membre de l'équation (11) se réécrit très simplement

$$f_T(A)|_{A=0} = \frac{\int_{-1}^1 du P_2(u) e^{BP_2(u)}}{\int_{-1}^1 du e^{BP_2(u)}} \Big|_{A=0} = \frac{\int_{-1}^1 du P_2(u)}{\int_{-1}^1 du} = \int_{-1}^1 du P_2(u). \tag{12}$$

Or une intégration montre directement que

$$\int_{-1}^1 du P_2(u) = \int_{-1}^1 du \left( \frac{3}{2}u^2 - \frac{1}{2} \right) = \frac{3}{2} \left[ \frac{1}{3}u^3 \right]_{-1}^1 - 2 \times \frac{1}{2} = 0.$$

Donc  $\forall T, f_T(0) = 0$ , par conséquent  $A = 0$  est toujours solution de l'équation d'auto-cohérence.

Une transition de phase se caractérise par l'apparition, pour des températures en deçà d'une température de transition  $T_c$ , d'une seconde solution non nulle de l'équation d'auto-cohérence (9).

Nous allons commencer par montrer que la solution de l'équation (11) est toujours positive. En effet  $\forall x \in \mathbb{R}, \exp(x) \geq 1 + x$ , donc

$$\int_{-1}^1 du P_2(u) e^{BP_2(u)} \geq \int_{-1}^1 du P_2(u) (1 + P_2(u)) = 0 + \int_{-1}^1 du P_2(u)^2 \geq 0,$$

comme  $\int_{-1}^1 du e^{BP_2(u)} \geq 0$ , on a bien  $A \geq 0$ .

La Figure 1 présente la résolution graphique de l'équation (9) pour une température  $T = 0.025$  : on trace (en bleu) la fonction  $f_T(A)$ , (en noir pointillés) la première bissectrice d'équation  $y = x$  et les deux points d'intersection correspondent aux solutions de l'équation (9).

On remarque sur la Figure 2 que lorsque  $T$  croît la solution  $A > 0$  se rapproche de 0 jusqu'à une température critique à partir de laquelle il n'y a plus que la solution  $A = 0$ . En effet

- lorsque la pente en 0 de la fonction  $f_T$  est strictement supérieure à 1 (i.e. pour les courbes bleue, orange, jaune et violette sur la Figure 2), la fonction  $f_T$  passe au dessus de la première bissectrice puis la croise une seconde fois, ce qui définit, outre  $A = 0$ , une seconde solution  $A > 0$ ;
- lorsqu'au contraire la pente en 0 de la fonction  $f_T$  est inférieure à 1, la courbe de  $f_T$  reste en dessous de la première bissectrice et  $A = 0$  est la seule solution de l'équation (9).
- la température critique  $T_c$  est donc définie par le fait que

$$\frac{df_{T_c}}{dA} \Big|_{A=0} \equiv 1.$$

Nous allons donc nous intéresser au comportement de  $f_T$  autour de 0. Lorsque  $A \simeq 0$ , le paramètre  $B$  est très faible et nous allons alors effectuer le développement limité au deuxième ordre :

$$e^{BP_2(u)} \simeq 1 + BP_2(u) + \frac{B^2}{2} (P_2(u))^2 + \mathcal{O}(B^3),$$

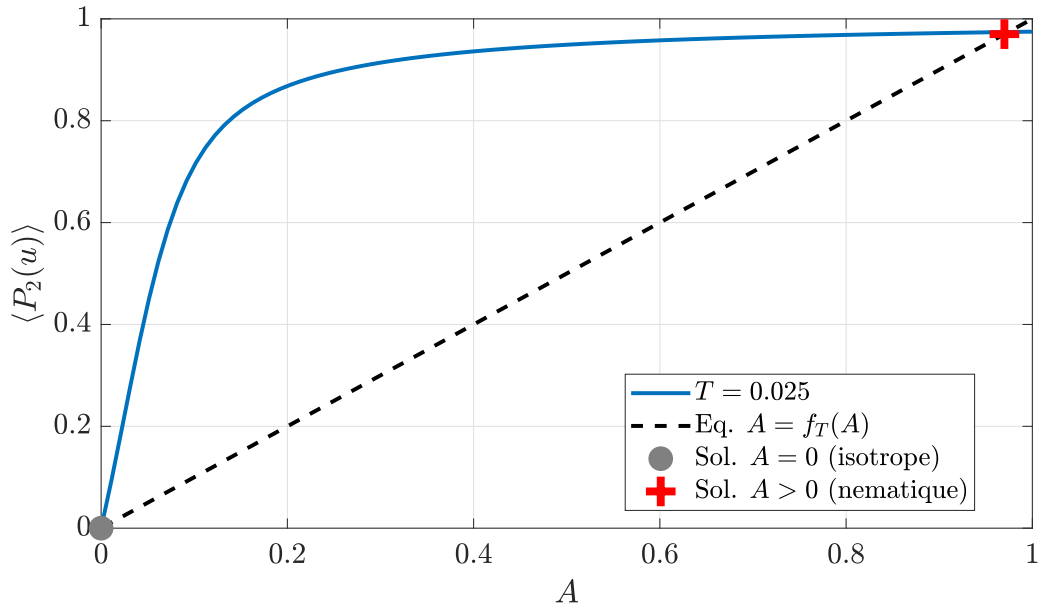


FIGURE 1 – Résolution graphique de l'équation d'auto-cohérence pour  $T = 0.025$  (i.e. à faible température). Les deux phases, isotrope ( $A = 0$ ) et nématique ( $A > 0$ ) peuvent être présentes.

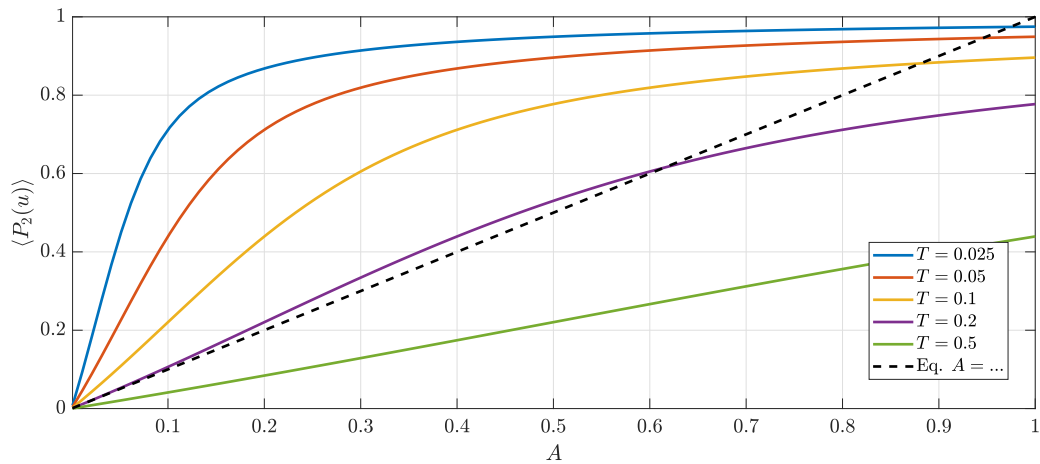


FIGURE 2 – Résolution graphique de l'équation d'auto-cohérence pour différentes températures. Les deux phases, isotrope ( $A = 0$ ) et nématique ( $A > 0$ ) peuvent être présentes, tant que la pente en 0 de la fonction  $f_T$  est strictement supérieure à 1.

on a alors

$$\begin{aligned}
 \int_{-1}^1 du e^{BP_2(u)} &\simeq \int_{-1}^1 du \left( 1 + BP_2(u) + \frac{B^2}{2} (P_2(u))^2 + \frac{B^3}{6} (P_2(u))^3 + \mathcal{O}(B^4) \right) \\
 &= 2 + 0 \cdot B + \frac{2}{5} \cdot \frac{B^2}{2} + \frac{4}{35} \cdot \frac{B^3}{6} + \mathcal{O}(B^4) \\
 \int_{-1}^1 du P_2(u) e^{BP_2(u)} &\simeq \int_{-1}^1 du P_2(u) \left( 1 + BP_2(u) + \frac{B^2}{2} (P_2(u))^2 + \frac{B^3}{6} (P_2(u))^3 + \mathcal{O}(B^4) \right) \\
 &= 0 + \frac{2}{5} \cdot B + \frac{4}{35} \cdot \frac{B^2}{2} + \frac{6}{35} \cdot \frac{B^3}{6} + \mathcal{O}(B^4).
 \end{aligned}$$

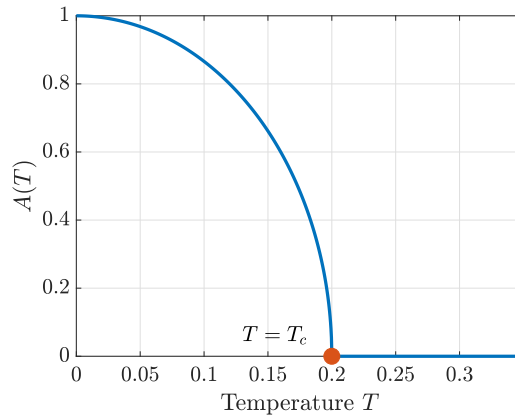


FIGURE 3 – Comportement du paramètre d'ordre en fonction de la température, avec une température critique  $T_c = 0.2$ .

Donc

$$\begin{aligned} f_T(A) \underset{A \simeq 0}{=} & \frac{\frac{2}{5} \cdot B + \frac{4}{35} \cdot \frac{B^2}{2} + \mathcal{O}(B^3)}{2 + \frac{2}{5} \cdot \frac{B^2}{2} + \mathcal{O}(B^3)} \\ & = \left( \frac{1}{5} \cdot B + \frac{1}{35} \cdot B^2 + \mathcal{O}(B^3) \right) \cdot \left( 1 - \frac{1}{10} B^2 + \mathcal{O}(B^3) \right) \\ & = \frac{1}{5} \cdot B + \frac{1}{35} \cdot B^2 + \mathcal{O}(B^3). \end{aligned}$$

En se rappelant que  $B = \frac{3zJA}{2k_B T}$  on obtient :

$$f_T(A) \underset{A \simeq 0}{=} \frac{1}{5} \cdot \frac{3zJ}{2k_B T} A + \frac{1}{35} \cdot \left( \frac{3zJ}{2k_B T} \right)^2 A^2 + \mathcal{O}(A^3).$$

Ainsi la température critique  $T_c$  est définie par

$$\left. \frac{df_T}{dA} \right|_{A=0} = \frac{1}{5} \cdot \frac{3zJ}{2k_B T_c} \equiv 1,$$

ce qui donne

$$\boxed{T_c = \frac{3zJ}{10k_B}}. \quad (13)$$

Ainsi le paramètre d'ordre  $A$  a un comportement tel qu'illustré sur la Figure 3.

9. L'énergie interne du système est par définition  $U \equiv \langle \mathcal{H}_{\text{cm}}(\{\vartheta_i\}) \rangle$ , or

$$\mathcal{H}_{\text{cm}} = \frac{3NJz}{4} A^2 - \frac{3Jz}{2} A \sum_{i=1}^N P_2(\cos(\vartheta_i)) + \mathcal{H}_c \quad \text{et} \quad \langle P_2(\cos(\vartheta_i)) \rangle \underset{\text{(déf. de } A)}{=} A$$

donc en passant à la moyenne dans l'expression de  $\mathcal{H}_{\text{cm}}$  on obtient

$$\begin{aligned} U = \langle \mathcal{H}_{\text{cm}} \rangle &= \frac{3NJz}{4} A^2 - \frac{3NJz}{2} A^2 + \mathcal{H}_c \\ U &= -\frac{3NJz}{4} A^2 + \mathcal{H}_c \end{aligned}$$

10. Le champ électrique étant orienté selon l'axe  $Oz$  il s'écrit  $\vec{E} = |\vec{E}|\vec{e}_z = E\vec{e}_z$ . De plus un dipôle électrique de moment dipolaire  $\vec{\mu}$  interagit avec ce champ via un hamiltonien

$$\mathcal{H}_E = -\vec{E} \cdot \vec{\mu} = -\cos(\vartheta)\mu E, \quad \text{où} \quad \mu \equiv |\vec{\mu}|$$



11. L'expression du hamiltonien de champ moyen est donc modifiée et on a désormais

$$\mathcal{H}_i = -\frac{3zJA}{2}P_2(\cos(\vartheta_i)) - \cos(\vartheta)\mu E$$

et la nouvelle équation d'auto-cohérence pour  $A$  s'écrit

$$A = \langle P_2(\cos(\vartheta_i)) \rangle = \frac{\int_{-1}^1 du P_2(u) e^{BP_2(u)+\beta\mu Eu}}{\int_{-1}^1 du e^{BP_2(u)+\beta\mu Eu}}.$$